

Aula de 10/10

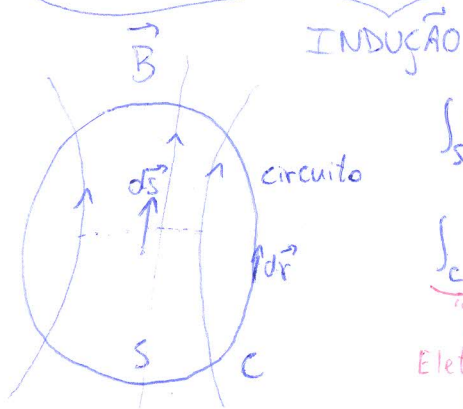
Aviso: A PZ abordará o conteúdo contido até a lista 10.

→ Eletrodinâmica

Campos E, B podem depender do tempo

$$\vec{\nabla} \times \vec{E} = 0 \rightarrow \vec{\nabla} \times \vec{E} = -\frac{\partial \vec{B}}{\partial t}$$

\vec{B} dependente do tempo → produz \vec{E} → acelera cargas → corrente



$$\int_S (\vec{\nabla} \times \vec{E}) \cdot d\vec{s} = - \int_S \frac{\partial \vec{B}}{\partial t} \cdot d\vec{s}$$

||

$$\int_C \vec{E} \cdot d\vec{r} = - \frac{\partial}{\partial t} \int_S \vec{B} \cdot d\vec{s}$$

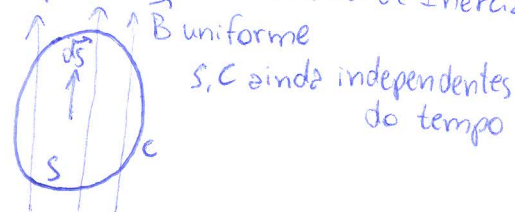
"Força" Fluxo
Eletromotriz (Φ)
(\mathcal{E})

* S, C não dependem do tempo

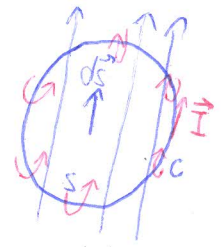
$$\mathcal{E} = - \frac{d\Phi}{dt} \quad \text{Lei de Faraday}$$

↳ Lei de Lenz

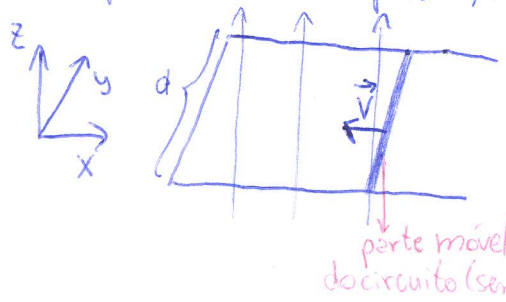
- Exemplo de Lei de Lenz (Lei de Inércia para a eletrodinâmica)



$$\frac{d\Phi}{dt} < 0 \rightarrow \mathcal{E} > 0 \rightarrow I \text{ anti-horário}$$



- Exemplo: "aquecimento para C, S dependentes do tempo"



$$\vec{v} = v(-\hat{x}) \text{ constante}$$

$$\vec{B} = B\hat{z} \text{ constante}$$

Como existem cargas por todo o circuito, na barra móvel temos cargas q com \vec{v} em \vec{B}

Força de Lorentz

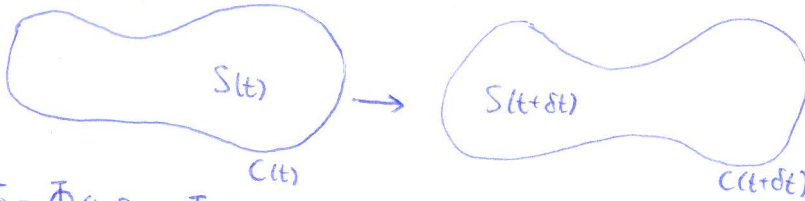
$$\vec{F} = q(\vec{v} \times \vec{B}) = qvB\hat{y}$$

$$\mathcal{E} = vBd$$

f.e.m. por carga unitária

$$S \text{ está diminuindo com } \vec{B} \text{ constante} \rightarrow \frac{d\Phi}{dt} = -vBd$$

- Caso Geral

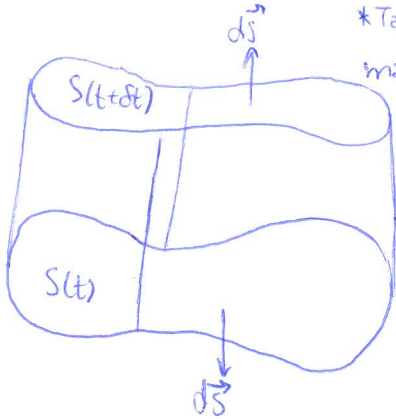


$$\delta\Phi = \Phi(t+\delta t) - \Phi(t)$$

$$= \int_{S(t+\delta t)} \vec{B}(t+\delta t) \cdot d\vec{s} - \int_{S(t)} \vec{B}(t) \cdot d\vec{s} \stackrel{\text{Taylor}}{=} \left(\int_{S(t+\delta t)} - \int_{S(t)} \right) \vec{B}(t) \cdot d\vec{s} + \int_{S(t)} \frac{\partial \vec{B}}{\partial t} \delta t \cdot d\vec{s} + \mathcal{O}(\delta t^2)$$

* Taylor aplicado na função mas não na borda

↑ orientado na direção positiva



dc → paredes laterais $S_{total} = S_c \cup S_{(t+\delta t)} \cup S_{(t)}$

$$\vec{\nabla} \cdot \vec{B} = 0 \rightarrow \int_{S_{total}} \vec{B}(t) \cdot d\vec{s} = 0$$

$$\left(\int_{S(t+\delta t)} - \int_{S(t)} \right) \vec{B}(t) \cdot d\vec{s} = - \int_{S_c} \vec{B}(t) \cdot d\vec{s}$$

Para S_c , temos $d\vec{s} = (d\vec{r} \times \vec{v}) \delta t$

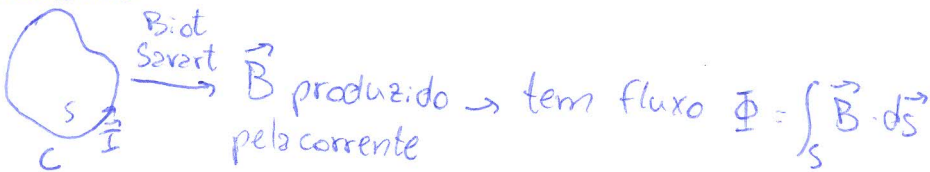
$$\frac{d\Phi}{dt} \stackrel{\lim_{\delta t \rightarrow 0}}{=} \frac{\delta\Phi}{\delta t} = \int_{S(t)} \frac{\partial \vec{B}}{\partial t} \cdot d\vec{s} - \int_{S_c} \vec{B} \cdot (d\vec{r} \times \vec{v}) = - \int_{S(t)} (\vec{\nabla} \times \vec{E}) \cdot d\vec{s} - \int_{S_c} (\vec{v} \times \vec{B}) \cdot d\vec{r}$$

Stokes

$$= - \int_{S_c} (\vec{E} + (\vec{v} \times \vec{B})) \cdot d\vec{r}$$

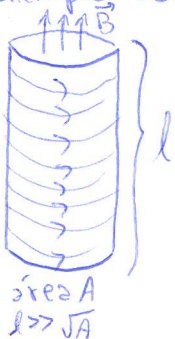
$\vec{E} \rightarrow \vec{E} = - \frac{d\Phi}{dt}$

→ Indutância



Por isso, definimos $L = \frac{\Phi}{I}$, que depende apenas da geometria de C

- Exemplo: Solenoide



↳ número de espiras por unidade de comprimento

$$B = \frac{4\pi}{c} IN$$

$$\Phi = \frac{4\pi}{c} I N A$$

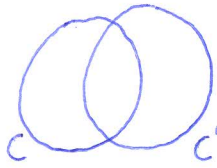
$$\Phi_{total} = \frac{4\pi}{c} I N A N l = \frac{4\pi}{c} I N^2 V \rightarrow L = \frac{4\pi}{c} N^2 V$$

→ Combinando Ampère e Biot-Savart

Deve-se lembrar neste momento da característica topológica da Lei de Ampère, devido à qual o importante para um certo resultado é aquilo que está contido dentro do contorno, e não o contorno em si.

Ampère → $\oint_C \vec{B} \cdot d\vec{r} = \frac{4\pi I}{c}$ usaremos $c=1$

Biot-Savart → $d\vec{B} = \frac{I}{c} \frac{d\vec{r} \times \vec{r}}{r^2} \rightarrow \vec{B} = \frac{I}{c} \int_C \frac{(\vec{r} - \vec{r}') \times d\vec{r}'}{|\vec{r} - \vec{r}'|^3}$



$\int_C \vec{B} \cdot d\vec{l} = -I \oint_C \oint_{C'} \left[\frac{(\vec{r} - \vec{r}') \times d\vec{r}'}{|\vec{r} - \vec{r}'|^3} \right] \cdot d\vec{l} = 4\pi NI$

↓
número de voltos em C

* Leitura indicada pelo professor para interessados em topologia:

- página 218 do Geometry of Physics, T. Frankel. Fala a respeito do Gauss Linking Number
Gauss Linking Number (GLN) é o número de nós entre dois caminhos dados, com sinal influenciado pela orientação dos contornos.

GLN=0

GLN=1

GLN=-1

GLN=2

* GLN é invariante topológico (não muda com deformações contínuas)

- "The Knot Book", Colin Adams
Classificação dos nós.

Exemplos com um único circuito: Unknot

Trefoil

→ Energia associada a \vec{B}

$E = - \frac{d\Phi}{dt} = -L \frac{dI}{dt}$

variando I
sem mudar a geometria do sistema (L constante)

olhando para a carga $I dt$ se movimentando no circuito, temos

$dW = E I dt = -L I \frac{dI}{dt} dt$

$\frac{dW}{dt} = \lim_{\delta t \rightarrow 0} \frac{\delta W}{\delta t} = -L I \frac{dI}{dt} = -L \frac{d(I^2)}{2 dt}$

$U = -W = \frac{1}{2} L I^2 = \frac{1}{2} \Phi I$

$U = \frac{1}{2} I \int_S \vec{B} \cdot d\vec{s} = \frac{1}{2} I \int_S (\vec{\nabla} \times \vec{A}) \cdot d\vec{s} = \frac{1}{2} I \oint_C \vec{A} \cdot d\vec{r} = \frac{1}{2} \int d^3x \vec{J} \cdot \vec{A} = \frac{1}{2} \int d^3x (\vec{\nabla} \times \vec{B}) \cdot \vec{A} \cdot \frac{c}{8\pi}$

$U = \frac{c}{8\pi} \int d^3x (\vec{\nabla} \times \vec{B}) \cdot \vec{A} = \frac{c}{8\pi} \int d^3x (\underbrace{\vec{\nabla} \cdot (\vec{B} \times \vec{A})}_{\text{superfície} \rightarrow 0} + \vec{B} \cdot (\vec{\nabla} \times \vec{A})) = \frac{c}{8\pi} \int d^3x \vec{B}^2$

$U = \frac{1}{8\pi} \int d^3x (E^2 + cB^2)$

* Um problema desta demonstração é que usamos fontes dos campos magnéticos. Eletromagnetismo 2 terá uma abordagem sem fontes do mesmo problema.